

円錐角度を異にするくいのくい周辺土質応力について

名城大學理工學部 土木工學教室 正會員 柴田道生

(1). 緒言

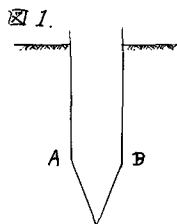
実験砂槽に、径15cm、長さ1mの木製模型くい（一は先端角30°、一は先端角60°）を打撃貫入せしめて、其の支持力を計測した結果、30°のくいが、60°のくいに比し、約20% 大きく、支持力が表はれることを、載荷試験によつて確認したと先に発表した。

そして説明された理論式においても、この事実が裏付けられた。本文は、支持力の數値がくい先端円錐角に左右されるのみではなく、地盤の土質にも關係があることを示唆すると共に、鋸角のくいが、鉢角のくいに比し、支持力が大きく表はれる根據について述べている。Meyerhofは、砂地盤と粘土地盤に打込まれた模型くいの実験から、円錐体の表面が、滑り易くいは、円錐角度が鉢角ほどのくい、支持力が大きく、鋸角ほどのくい、支持力が小さく表はれ、円錐体が粗であれば、逆に、円錐角度が、鋸角の方々、支持力が大きくなると報じてゐる。然し、今日、使用されているくいは、其の円錐体表面は、殆んど滑り難であり、粗面のくいは、実在しない。そこで、くいの円錐体表面の粗度に關係があるというよりは、穿孔、打込まれた地盤が、ゆるい砂であるか、密な砂であるか、又は粘質土であるか、否かに、焦点を当てた方々、実際的であると筆者は、考へてゐる。

さて、実験砂槽に、投入された砂は、完全乾燥砂で、均等に搾固められたもので、密な状態であり、くいは、径15cm、長さ1mの木製模型くい、其の円錐角度は、一は30°、一は60°のもので、支持力が、鋸角の30°のくいに比べて、約20% 多く計測された事実の根據を、次のように解説した。

(2) 円錐体面が、本体へ移行する不連続部に生ずる土の塊乱

(1) 地盤がゆるい砂の場合



ゆるい砂は、せん断を受けると、収縮する。くいの円錐体面で、せん断された砂は、収縮して、1箇の不連続面ABに沿って、ゆるい砂の粒子の間に、は入り込み、砂の隙隙比が減少して、密な状態となる。従つて、ゆるい砂の場合には、不連続面では、土粒子の塊乱は生ぜず、砂は、密となる。円錐体面におけるせん断抵抗力を C 、(1)式で示される。即ち

$$C = w Z K_p \sin(\lambda + \theta) \tan \phi \quad \dots \dots \dots (1)$$

ここで、 w : 土の単位重量、 Z : くいの根入長さ、 K_p : 受傷土圧係数、 λ : 円錐角度の $\frac{1}{2}$ 、 θ : 土の内部摩擦角、従つて、円錐角度30°の Z を Z_{30} 、60°のそれを Z_{60} とする

$$Z_{60} > Z_{30} \text{ であり、土は } 60^\circ \text{ の場合が密である。}$$

即ち、 Z_{60} の土は、不連続部で、塊乱されることはなく、ゆるい砂中にまぐり入り、密の状態となる。くい周面に沿つて、上層まで連続し、くい周面の摩擦角度は、60°の場合が大きく、

従つて、支持力は 60° の場合が、 30° の場合に比し、大きくなる。

くの周面近くで、直入試験を行つた結果は、 60° くらいの場合が、密の状態となつてゐる。

(ii) 地盤が密な砂の場合

密着砂₁、せん断を受けて膨脹する。二の膨脹は、せん断変形に基くもので、砂が密着するほど膨脹は大きくなる。従って C_{20} の膨脅は、 C_{30} の膨脅より大きい。即ち、円錐斜面で、せん断を受ける砂は、不連続部において、密着砂へ粒子衝撃は入り込み得ない。この時、不連続部における密着砂の存在は、膨脹を妨げることになり、せん断変位を生ずる。この際、発生するせん断力は、基層に大きくなり、砂の粒子の一部分が、破碎される。これに砂粒子の壊乱現象が生ずることになる。この壊乱は、円錐体側とくらべ本体との交角、即ち、円錐角度の大きさほど大きい。いま、二の壊乱度を(2)式によつて示さるものとする。

$$\frac{f}{g} = \frac{\mu^2}{g \frac{1}{\lambda}} \quad \dots \dots \dots \quad (2)$$

g : 重力の加速度、 α : 円錐角度の半角、 c : ある定数。次に、 u : いい、先端部に発生する滑り線場内の砂粒子の流速を(3)式で示せ。

$$M = \sqrt{2} V \sin \lambda \quad \dots \dots \dots \quad (3)$$

(3)式の右辺、 v はの運動速度であるが、之を v の衝撃速度と考へよと

$$V = \frac{e^{\prime} \pi \sqrt{2 g h n}}{\pi + \omega'} \quad \dots \dots \dots \quad (4)$$

ここで、 h : ハンマーの落下高、 W : ハンマーの重さ、 w' : $\langle \cdot \rangle$ の重さ、 c' : 打撃効率係数、 β : 反発係数、 g : 重力の加速度である。次に、円錐斜面のせん断抵抗力では、入の角度より、鉛直方向に土粒子の移動が急変するから、鉛直方向のくの本体に沿う应力 σ' は

さて、今、砂粒子の擾乱は、土の間隙比の変化と共に、又応力の変化は、 $\Delta \sigma = \sigma' - \sigma_0$ に変化したと考へる。砂が圧縮されるとき、応力 σ' と間隙比 e' の関係では

$c = -C \log_{10} \sigma_Z$ の關係があることは σ_Z を微分して

(b) 式の分子、 $d\epsilon$ は、初期比への変化を示してあるから、 $d\epsilon = \alpha \delta$ とする。 α : 定数、又、 $d\delta_Z$ は応力の変化であるから $d\delta_Z = \gamma'$ と考へる。

$$\text{11. } \theta = 30^\circ, h = 0.3\text{ m}, W = 20\text{ kg}, w' = 11.15\text{ kg}, e' = 0.6, \eta = 0.8.$$

ところで、模型くひの算入時の数値を用ひて、前述の(1)(2)(3)(4)(5)(6)の各式を計算すれば、先端円錐角 30° の場合の圧縮指数 C_{30} 及 $\alpha = 60^\circ$ の場合の C_{60} を求めよ。

$C_{30} = 0.031\alpha$, $C_{60} = 0.10\alpha$ となる。即ち、圧縮指数 C の少すい 30°C への場
合の方が、密重状態であることを示していい。従つて、地盤が密重砂の場合は、

前述の $\Psi = 30^\circ$ の場合と逆となって、円錐角度 30° よりの方が、支持力が大きくなる。

(参考文献) 山田嘉昭: 塑性力学. 山田義親: 砂地盤に及ぼす $\phi < 0$ の締固範囲 - 土と基礎 Vol. 13 No. 8
 Meyerhof = Proc. 5th. Int. Conf. on Soil Mechanics and Foundations Eng.
 Vol. 2, (1961) The Ultimate Bearing Capacity of Wedge-shaped Foundations.